

## ВЛИЯНИЕ ИНЕРЦИИ НАГНЕТАТЕЛЯ НА УСТОЙЧИВОСТЬ АППАРАТА НА ВОЗДУШНОЙ ПОДУШКЕ

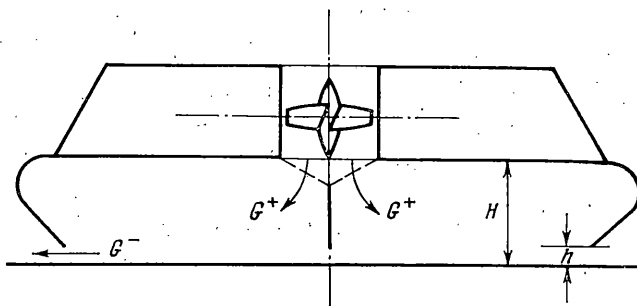
Л. А. МАСЛОВ, Я. Г. ПАНОВКО

(Ленинград)

Рассматриваются малые вертикальные поступательные колебания аппарата на воздушной подушке; в отличие от работы [1] учитывается влияние инерции нагнетательной системы.

1. Рассматриваемая камерная схема аппарата на воздушной подушке представлена на фиг. 1.

Введем обозначения:  $H$  — средняя высота подкупольного пространства,  $F$  — его проекция на горизонтальную плоскость,  $V=HF$  — подкупольный объем,  $\rho$ ,  $p$ ,  $p^+$  — плотность, а также абсолютное и избыточное давление воздуха, находящегося в подушке,  $G^+$  — массовый расход воздуха, подаваемого нагнетателем в подушку,  $G^-$  — массовый расход воздуха, выходящего из подушки в атмосферу,  $h$  — высота



Фиг. 1

целевого зазора, через который происходит истечение воздуха из подушки в атмосферу,  $n$  — показатель политропы состояния воздуха в подушке,  $N^+$  — мощность двигателя,  $N^-$  — мощность, потребляемая нагнетателем,  $\omega$  — угловая скорость вращения ротора нагнетательного агрегата; равновесные значения названных величин будут обозначаться теми же буквами, но с дополнительным индексом нуль. Вертикальное отклонение аппарата вниз от равновесного уровня обозначим через  $y=h_0-h$ , а отклонение давления в подушке от равновесного значения — через  $\Delta p=p^+-p_0^+$ . При этом  $V=V_0(1-y/h)$ ,  $h=h_0(1-y/h_0)$ .

Для плотности воздуха примем  $\rho \approx \rho_0(1+\Delta p/n p_0)$ .

Масса воздуха, находящегося в подкупольном пространстве, удовлетворяет условию  $d(\rho V)/dt=G^+-G^-$ , т. е.

$$\rho^*V+\rho V^*=G^+-G^- \quad (1.1)$$

Приведенные соотношения соответствуют работе [1] так же, как используемое ниже выражение для расхода воздуха из подушки в атмосферу

$$G^- = G_0 \left( 1 - \frac{y}{h_0} + \frac{\Delta p}{2p_0^+} \right) \quad (1.2)$$

которое получено в предположении об изэнтропийности истечения.

Однако  $G^+$  — расход воздуха, подаваемого нагнетателем в подушку, будем определять более строго, чем это было сделано в [1].

2. Существуют два приближенных подхода к составлению уравнения, связывающего расход воздуха  $G^+$  с избыточным давлением  $p^+$ ; они основаны на упрощенных представлениях, которые, в сущности, противоположны одно другому.

Первый подход, принятый в работе [1], основан на предположении, что ротор нагнетательного агрегата полностью лишен инерции; тогда, при неизменной мощности двигателя и КПД нагнетателя, расход воздуха, подаваемого нагнетателем в подушку, определяется выражением

$$G^+=G_0(1-\Delta p/p_0^+) \quad (2.1)$$

Согласно второму подходу [2], принимается, что угловая скорость вращения ротора остается постоянной независимо от изменений давления в подушке; это соответствует предположению о бесконечно большом моменте инерции массы ротора либо о наличии идеальной системы управления агрегатом.

В этом случае, если  $G^+ = G^+(p^+)$  — уравнение напорно-расходной характеристики нагнетателя, соответствующей заданной постоянной угловой скорости  $\omega$ , вместо (2.1) получится

$$G^+ = G_0 \left( 1 + \alpha \frac{\Delta p}{p_0^+} \right), \quad \alpha = \frac{\partial G^+}{\partial p^+} \frac{p_0^+}{G_0} \quad (2.2)$$

причем значение производной  $\partial G^+ / \partial p^+$  принимается в точке характеристики, которая соответствует равновесному режиму<sup>1</sup>.

Хотя указанные подходы в некоторых случаях могут оказаться практически приемлемыми, однако оба они представляются слишком схематичными, а получаемые с их помощью оценки устойчивости аппарата, вообще говоря, сомнительными. Ниже излагается решение вопроса об устойчивости, учитывающее, что момент инерции ротора — отличная от нуля конечная величина; при этом принимается во внимание, что при колебаниях давления в подушке переменной оказывается и угловая скорость вращения ротора нагнетателя  $\omega = \omega_0 + \Delta\omega$ .

Тогда в отличие от (2.2) расход воздуха  $G^+$  определяется выражением

$$G^+ = G_0 \left( 1 + \alpha \frac{\Delta p}{p_0^+} + \beta \frac{\Delta\omega}{\omega_0} \right) \quad (2.3)$$

в котором  $\beta = (\partial G^+ / \partial \omega) (\omega_0 / G_0)$  и производная  $\partial G^+ / \partial \omega$  также соответствует точке равновесного режима.

Появление новой переменной  $\Delta\omega$  требует, чтобы в рассмотрение было включено уравнение движения ротора

$$I\omega \frac{d(\Delta\omega)}{dt} = N^+ - N^- \quad (2.4)$$

Здесь  $I$  — момент инерции массы ротора. Если принять, что при колебаниях аппарата на воздушной подушке мощность двигателя и КПД нагнетателя остаются неизменными, то из (2.4) можно получить

$$\frac{I\omega_0}{N_0} \frac{d(\Delta\omega)}{dt} = - \frac{\Delta G^+}{G_0} - \frac{\Delta p}{p_0^+} \quad (2.5)$$

В п. 5 будет рассмотрен также случай  $N^+ = N^+(\omega)$  при постоянном расходе топлива.

3. Исключив из уравнений (1.1), (1.2), (2.3) и (2.5) переменные  $G^+$ ,  $G^-$  и  $\Delta\omega$ , приходим к соотношению между отклонением давления  $\Delta p$  и отклонением аппарата  $y$ . Вводя в это соотношение вместо  $\Delta p$  приращение силы поддержания  $P = \Delta p F$ , запишем названное соотношение в виде

$$a_2 p^{**} + a_1 p^* + P = b_2 y^{**} + b_1 y^* + cy \quad (3.1)$$

$$a_2 = \frac{2}{3} \frac{\theta \theta^* p_0^+}{n p_0}, \quad a_1 = \frac{2}{3} \left[ \frac{\theta p_0^+}{n p_0} + \theta^* \left( \frac{1}{2} - \alpha \right) \right]$$

$$b_2 = \frac{2}{3} \frac{\theta \theta^* p_0^+ + F}{H}, \quad b_1 = \frac{2}{3} \left( \frac{\theta}{H} + \frac{\theta^*}{h_0} \right) p_0^+ + F, \quad c = \frac{2}{3} \frac{p_0^+ F}{h_0}$$

причем

$$\theta = \rho_0 V_0 / G_0, \quad \theta^* = I \omega_0^2 / \beta N_0$$

представляют собой постоянные времени воздушной подушки и нагнетательного агрегата.

Если воспользоваться терминологией, принятой в [1, 2], то соотношение (3.1) можно назвать реологическим (определяющим) уравнением аппарата на воздушной подушке; при  $I=0$  оно переходит в более простое уравнение (1.7) работы [1].

Как видно, учет инерционных свойств нагнетательного агрегата приводит к повышению порядка реологического уравнения (в [1] аналогичное уравнение имело первый порядок) и, вообще говоря, к возникновению дополнительных возможностей неустойчивости. Имея в виду результаты, полученные в работе [2], можно утверждать, что одновременный учет инерционности нагнетателя и наличия ресивера приводит к реологическому уравнению третьего порядка.

4. Для свободных колебаний аппарата массы  $m$  следует принять (с учетом того, что положительное направление  $y$  — вниз, а положительное направление  $P$  — вверх)

$$m y^{**} = -P \quad (4.1)$$

<sup>1</sup> Отметим, что если  $\alpha = -1$ , то выражения (2.1) и (2.2) совпадают.

Подставляя (4.1) в (3.1), получим дифференциальное уравнение четвертого порядка относительно отклонения  $y$ :

$$\kappa_3 y^{IV} + \kappa_1 \kappa_2 y''' + y'' + \kappa_1 y' + y = 0 \quad (4.2)$$

в котором

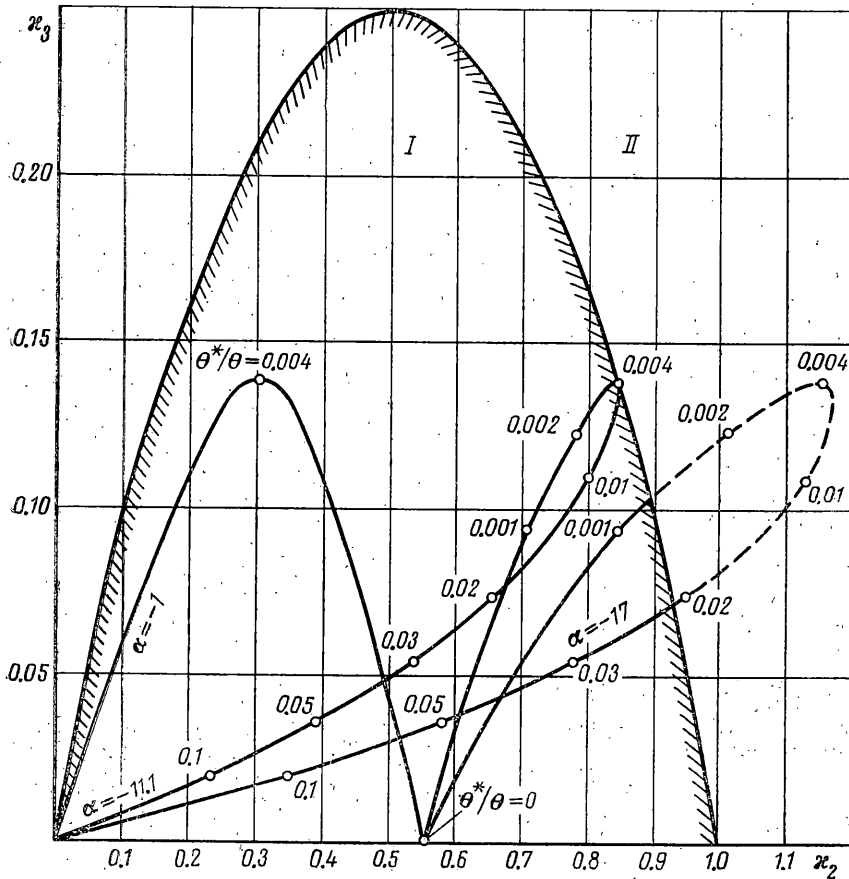
$$\kappa_1 = b_1 [c(b_2 + m)]^{-1/2}, \quad \kappa_2 = a_1 c m [b_1(b_2 + m)]^{-1}, \quad \kappa_3 = a_2 c m (b_2 + m)^{-2}$$

и штрихами обозначено дифференцирование по безразмерному времени  $\tau = [c/(b_2 + m)]^{1/2} t$ .

Характеристическое уравнение, соответствующее уравнению (4.2), имеет вид

$$\kappa_3 s^4 + \kappa_1 \kappa_2 s^3 + s^2 + \kappa_1 s + 1 = 0$$

Так как все коэффициенты этого уравнения положительны, то для устойчивости аппарата необходимо и достаточно выполнения единственного условия Рауса — Гурвица:  $\kappa_3 < \kappa_2(1 - \kappa_2)$ .



Фиг. 2

Области устойчивости (I) и неустойчивости (II) показаны на фиг. 2. Здесь же показаны кривые для условного аппарата со следующими данными:  $m = 160 \cdot 10^3 \text{ кг}$ ,  $h_0 = 0.05 \text{ м}$ ,  $H = 2.5 \text{ м}$ ,  $p_0^+ = 2375 \text{ Па}$ ,  $G_0 = 196 \text{ кг/сек}$ ,  $\theta = 10.35 \text{ сек}$ ,  $n = 1.4$ . Кривые соответствуют грем избранным значениям параметра  $\alpha = -1$ ,  $\alpha = -11.1$ ,  $\alpha = -17$ , а числа, указанные около точек, отмеченных на этих кривых, указывают значения отношения  $\theta^*/\theta$ . Так как величина  $\kappa_3$  не зависит от параметра  $\alpha$ , все точки с равными значениями  $\theta^*/\theta$  располагаются на горизонтальных прямых.

Здесь видно, что хотя при некоторых значениях параметра  $\alpha$  аппарат оказывается устойчивым при любых значениях параметра  $\theta^*/\theta$  (см., например, кривую для  $\alpha = -1$ , которая полностью лежит в области устойчивости), однако при достаточно больших абсолютных значениях  $\alpha$  может оказаться, что в некотором интер-

вале значений  $\theta^*/\theta$  аппарат неустойчив (см., например, участок кривой для  $\alpha = -17$ , показанный штриховой линией).

Дальнейший анализ показывает, что вершины всех петлеобразных кривых в плоскости  $(\kappa_2, \kappa_3)$  имеют одинаковые ординаты

$$(\kappa_3)_{\max} = \frac{H}{6h_0} \frac{p_0^+}{p_0}$$

Абсциссы этих вершин возрастают с увеличением абсолютного значения  $\alpha$ . Всем вершинам соответствует равенство

$$\theta\theta^* = 3H/2g \quad (4.3)$$

Соответственно близость изображающей точки  $(\kappa_2, \kappa_3)$  к границе области устойчивости, т. е. степень устойчивости аппарата, уменьшается с увеличением абсолютного значения параметра крутизны характеристики нагнетателя  $\alpha$  и с приближением произведения  $\theta\theta^*$  к критическому значению (4.3); напротив, с удалением величины  $\theta\theta^*$  от значения (4.3) в сторону уменьшения или увеличения степень устойчивости аппарата на воздушной подушке возрастает.

5. Если в (2.4) принять, что  $N^+ = N^+(\omega)$  при неизменном расходе топлива, то вместо (2.5) получим

$$\frac{I\omega_0}{N_0} \frac{d(\Delta\omega)}{dt} = \gamma \frac{\Delta\omega}{\omega_0} - \frac{\Delta G^+}{G_0} - \frac{\Delta p}{p_0^+}, \quad \gamma = \frac{\partial M^+}{\partial \omega} \frac{\omega_0}{M_0^+} \quad (5.1)$$

где  $\gamma$  — параметр крутизны характеристики двигателя при постоянном расходе топлива,  $M^+ = M^+(\omega)$  — вращающий момент на валу двигателя,  $\partial M^+/\partial \omega$  — производная в точке, соответствующей равносному режиму.

Исключив из уравнений (1.1), (1.2), (2.3) и (5.1) переменные величины  $G^+$ ,  $G^-$ ,  $\Delta\omega$  и выполнив все операции, указанные в п. 3, получим реологическое уравнение и дифференциальное уравнение свободных колебаний аппарата в прежнем виде (3.1) и (4.2). Однако коэффициенты реологического уравнения в рассматриваемом случае определяются выражениями

$$a_1 = \frac{1}{A_2} \left[ \frac{A_1 \theta p_0^+}{p_0} + \left( \frac{1}{2} - \alpha \right) \theta^* \right], \quad a_2 = \frac{\theta\theta^* p_0^+}{A_2 n p_0}$$

$$b_1 = \frac{1}{A_2} \left( \frac{A_1 \theta}{H} + \frac{\theta^*}{h_0} \right) p_0^+ F, \quad b_2 = \frac{\theta\theta^* p_0^+ F}{A_2 H}, \quad c = \frac{A_1 p_0^+ F}{A_2 h_0}$$

$$A_1 = 1 - \frac{\gamma}{\beta}, \quad A_2 = \frac{3}{2} - \left( \frac{1}{2} - \alpha \right) \frac{\gamma}{\beta}$$

При малых абсолютных значениях параметра  $\alpha$  переменность  $N^+$  при постоянном расходе топлива мало меняет оценку устойчивости аппарата. Так, например, для аппарата, параметры которого были указаны выше, приняв  $\alpha = -1$ ,  $\beta = 10$ ,  $\gamma = 0.25$ ,  $\theta^*/\theta = 0.004$ , для случая  $N^+ = N^+(\omega)$  получаем  $\kappa_2 = 0.310$  и  $\kappa_3 = 0.138$ , а для случая  $N^+ = \text{const}$  можно найти  $\kappa_2 = 0.316$  и  $\kappa_3 = 0.138$ .

При больших абсолютных значениях параметра  $\alpha$  влияние переменности  $N^+$  на запас устойчивости аппарата более заметно. Для рассмотренного примера, но при  $\alpha = -11.1$  получаем  $\kappa_2 = 0.568$  и  $\kappa_3 = 0.150$ , если  $N^+ = N^+(\omega)$ , и существенно иные значения:  $\kappa_2 = 0.829$  и  $\kappa_3 = 0.138$ , если  $N^+ = \text{const}$ .

Авторы благодарны Г. Ю. Степанову за полезное обсуждение работы.

Поступила 25 IV 1977

#### ЛИТЕРАТУРА

1. Маслов Л. А., Пановко Я. Г. Колебания аппарата на воздушной подушке как твердого тела на обобщенном упруговязком основании. Изв. АН СССР. МТТ, 1975, № 4.
2. Маслов Л. А., Пановко Я. Г. Устойчивость аппарата на воздушной подушке при наличии ресивера. Изв. АН СССР. МТТ, 1977, № 5.